



Instituto Geológico
y Minero de España

Álbum Fotográfico

Documentación complementaria MAGNA
hoja E.1:50.000

Las Navas del Marques

532 (17-21)

Foto 9901

Neises glandulares migmatizados con pérdida de continuidad de la esquistosidad. Afloramiento de La Cañada. Foto 20-2.

Foto 9902

Neises glandulares migmatizados con fuerte desestructuración. Afloramiento de La Cañada. Foto 15-3.

Foto 9903

Neises glandulares migmatizados con matriz granitoide heterogénea orientada. Afloramiento de La Cañada. Foto 19-2.

Foto 9904

Neises glandulares nebulíticos con matriz granitoide completamente desestructurada. Afloramiento de La Cañada. Foto 31-3.

Foto 9905

Pliegue en intercalaciones metasamíticas en los metasedimentos de grado alto del afloramiento de La Cañada. El pliegue afecta a la esquistosidad principal. Foto 9-3.

Foto 9906

Pliegues de la estratificación en metasamítas del conjunto de metasedimentos de grado alto del afloramiento de La Cañada. - Los planos axiales de estos micropliegues coinciden con la esquistosidad principal. Foto 10-3.

Foto 9907

Esquistos migmatizados con bandeado de segregación metamórfica bien definido. La esquistosidad principal está fuertemente crenulada. Metasedimentos de grado alto del afloramiento de la Cañada. Foto 22-4.

Foto 9908

Metasedimentos migmatizados cortados por móviles granitoides. Metasedimentos de grado alto del afloramiento de La Cañada. Foto 2-3.

Foto 9909

Venas granitoides y de cuarzo plegadas en metasedimentos pelíticos migmatizados. Afloramiento de La Cañada. Foto 22-7.

Foto 9910

Pliegues de fase 4 afectando a intercalaciones areniscosas en metasedimentos pelíticos de grado medio. Afloramiento de La Cañada. Foto 19-4.

Foto 9911

Bancos areniscosos y cuarcíticos intercalados entre las filitas metapelíticas del conjunto de metasedimentos de grado medio-bajo del afloramiento de La Cañada. Foto 13-4.

Foto 9912

Metasedimentos pelíticos y samíticos de grano fino afectados - por cizallamiento asociado a la fase 4. Se encuentran corneanizados por efecto de la intrusión de las adamellitas porfídicas de Hoyo de Pinares. Afloramiento de La Cañada. Foto 7-2.

• SIN UBICACIÓN EN EL PLANO DE SITUACIÓN DE HUESTRAS, NI EN NCC1.

Foto 9913

Afloramiento de metapelitas grano fino con intercalaciones metasamíticas afectadas por cizallamiento de fase 4. El conjunto tiene metamorfismo de contacto inducido por las adamellitas - porfídicas del Hoyo de Pinares. Afloramiento de La Cañada. Foto 6-2.

Foto 9914

Lineaciones irregularmente espaciadas sobre la superficie de - esquistosidad determinadas por crénulas de fase 4. Sobre filitas del conjunto de metasedimentos de grado medio-bajo del - afloramiento de La Cañada. Foto 14-4.

Foto 9915

Fenoblastos de andalucita de hasta 15 cm. sobre el plano de esquistosidad de filitas metapelíticas con lineación de crenulación muy marcada. Metasedimentos de grado medio-bajo del afloramiento de La Cañada. Foto 17-4.

Foto 9916

Venas pegmatíticas deformadas englobando enclaves de esquistos con la esquistosidad crenulada. Los enclaves están fuertemente turmalinizados. En metasedimentos de grado medio del afloramiento de La Cañada. Foto 4-1.

Foto 9917

Detalle del contacto entre la adamellita porfídica de Hoyo de Pinares y los metasedimentos de grado medio-bajo fuertemente – corneanizados. El contacto corta a los micropliegues de la esquistosidad. Afloramiento de La Cañada. Foto 5-2.

Foto 9918

Aspecto textural de la adamellita porfídica de Hoyo de Pinares. Se observa un enclave microgranudo y varios microenclaves metamórficos. Foto 18-1.

Foto 9919

Adamellita porfídica de Hoyo de Pinares. Se observa un reparto heterogéneo de los megacristales y venas difusas de color claro por concentración de feldespato. Foto 16-2.

Foto 9920

Diques aplíticos con cordierita en la adamellita porfídica de Hoyo de Pinares. Foto 3-2.

Foto 9921

Bolsada pegmatítica con límites difusos en la adamellita porfírica de Hoyo de Pinares. La pegmatita tiene biotita, moscovita y cordierita. Foto 13-2.

Foto 9922

Aspecto textural de la adamellita de Las Navas del Marqués con feldespato rosado y escasos magacristales. Foto 10-1.

Foto 9923

Marmitas en lanchares de adamellitas de las Navas del Marqués en facies más porfídicas. Foto 1-4.

Foto 9924

Aspecto textural de las adamellitas porfídicas del embalse de La Ciudad Ducal. Foto 14-2.

Foto 9925

Magacristales resaltando debido a mayor resistencia a la meteorización en la adamellita porfídica del embalse de La Ciudad - Ducal. Foto 18-4.

Foto 9926

Resalte morfológico correspondiente a un afloramiento de leucogranitos biotíticos asociados a las adamellitas con megacristales de Las Navas del Marqués. Zona de Peñas Pardas. Foto 31-6.

Foto 9927

Grandes cristales de feldespato en heterogeneidades pegmatoides en leucogranitos asociados a las adamellitas con megacristales de las Navas del Marqués. Foto 4-3.

Foto 9928

Afloramiento de pórfidos graníticos en el Macizo de Las Navas del Marqués. Zona al oeste del Puerto de La Lancha. Foto 6-3.

Foto 9929

Crestones correspondientes a afloramientos de pórfidos graníticos. Zona del Puerto de La Lancha. Foto 11-1.

Foto 9930

Aspecto textural de pórfido granítico. Afloramiento próximo al Km 26 de la carretera entre Navalperal de Pinares y Aldeavieja. Foto 8-1.

Foto 9931

Afloramiento de dique leucogranítico de grano fino al norte -- del Arroyo de La Garganta. Foto 23-3.

Foto 9932

Pequeño dique microdiorítico desplazado en las adamellitas por fídicas de Hoyo de Pinares. Foto 9-2.

Foto 9933

Resaltos correspondientes a afloramientos de diques de cuarzo en el Macizo adamellítico de las Navas del Marqués. Foto 18-3.

Foto 9934

Afloramiento de dique de cuarzo con aspecto ruiniforme. En el Macizo adamellítico de las Navas del Marqués. Foto 19-3.



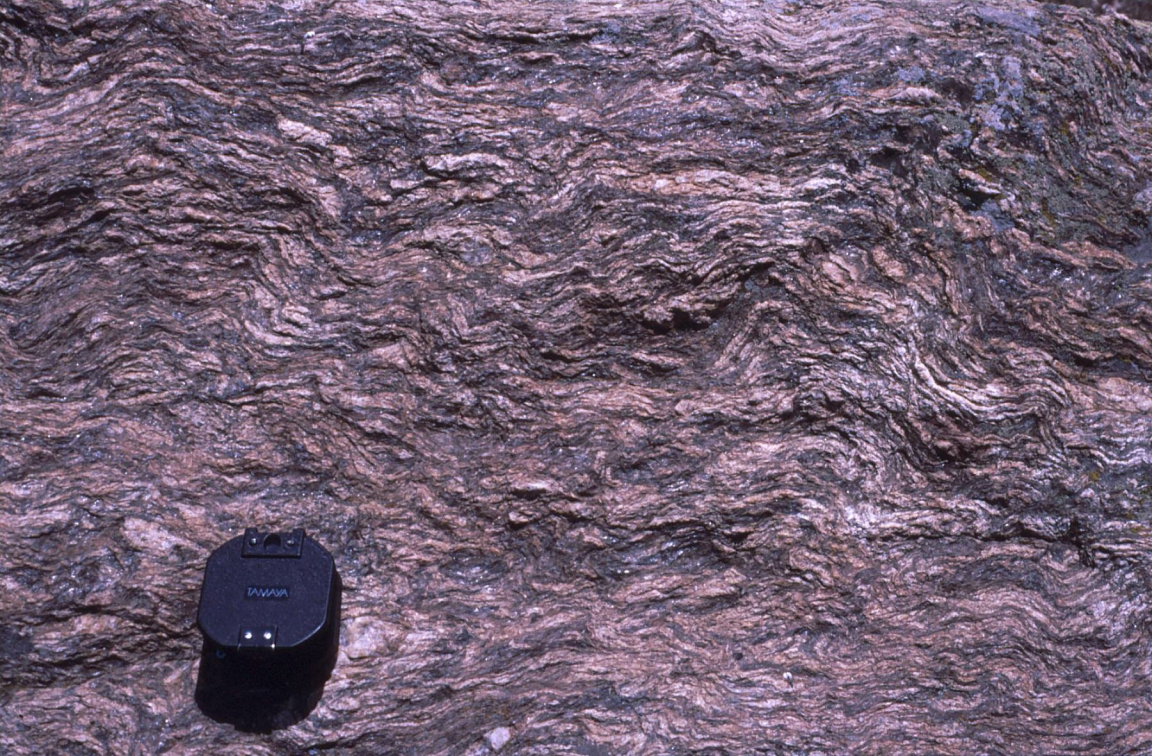














































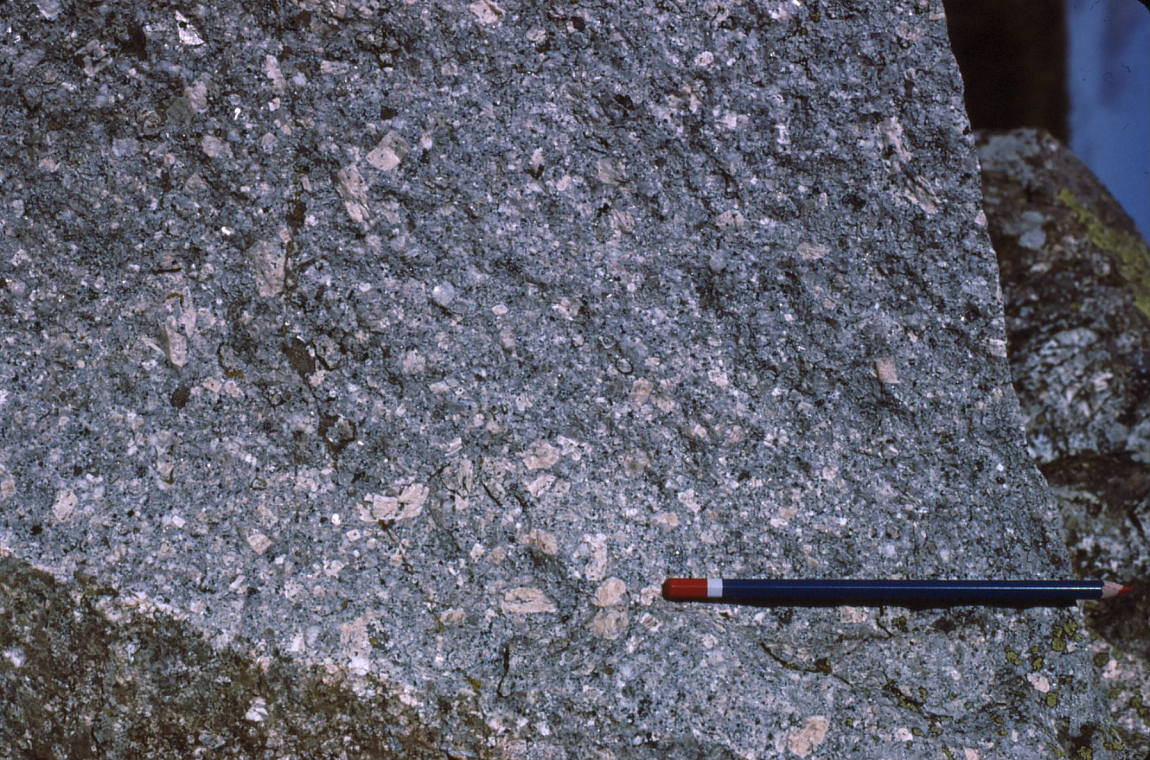




















- 1.- 4494-395. Pliegues ptigmaticos en paraneises con venas leucocraticas.
- 2.- 4494-395. Pliegues en paraneis miloníticos.
- 3.- 4492-395. Pliegues con charnelas curvas en paraneises infrayacentes a mármoles.
- 4.- 4492-396. "Boudinaje" en mármoles y rocas de silicatos cálcicos.
- 5.- 4496-395. Pliegues con esquistosidad de plano axial en mármoles.
- 6.- 4488-393. "Boudin" calcosilicatado en mármoles.
- 7.- 4487-393. Aspecto de pliegues en mármoles.
- 8.- 4494-395. Pegmatitas piroxenicas en mármoles.
- 9.- 4487-393. Neises miloníticos melanocratos. Foliación subhorizontal.
- 10.- 4492-393. Neis milonítico melanocratico. Venas de leuconeis y de cuarzo plegadas.
- 11.- 4492-394. Pliegue intrafoliar desenraizado en neises melanocraticos.
- 12.- 4493-393. Neises melanocraticos con pliegues isoclinales y foliación milonítica que crenula esquistosidad previa.
- 13.- 4487-393. Paraneis de dimensión métrica enclavado en leuconeis.
- 14.- 4493-395. Enclaves de paraneises en ortoneises glandulares.
- 15.- 4490-393. Aspecto de los ortoneises glandulares.
- 16.- 4488-394. Ortoneis glandular con ferromagnesianos en agregados.
- 17.- 4485-396. Materiales leucocráticos plegados en ortoneises.
- 18.- 4495-397. Facies marginal de ortoneises con nódulos de turmalina.
- 19.- 4494-395. Ortoneises de la Hoya. Fundidos parciales según pequeñas cizallas.
- 20.- 4487-394. Cataclastitas negras sobre ortoneis glandular.
- 21.- 4493-392. Leucogranito cortando la foliación milonítica en ortoneises glandulares.
- 22.- 4487-393. Leucogranito deformado de dos micas intrusivo en neis glandular.
- 23.- 4496-393. Leucogranito de dos micas orientado intrusivo en neis glandular.
- 24.- 4496-393. Leucogranitos intrusivos en ortoneises glandulares.
- 25.- 4485-396. Tonalitas deformadas en zona de cizalla dextral.

- 26.- 4488-380. Aspecto de la adamellita de Hoyo con enclaves.
- 27.- 4486-379. Orientación de fenocristales con adamellita tipo Hoyo.
- 28.- 4488-380. Flujo subhorizontal en adamellita de Hoyo.
- 29.- 4488-380. Bolsada pegmatítica en adamellita de Hoyo.
- 30.- 4488-380. Aspecto morfológico de adamellita de Hoyo.
- 31.- 4487-379. Pegmatita vertical en adamellita de Hoyo. La pegmatita está zonada con prehnita en el núcleo, moscovita en zona media y marginada por "schlieren" biotítico.
- 32.- 4486-379. Pegmatita con granate en adamellita de Hoyo.
- 33.- 4486-378. Enclave de granito microporfídico en adamellita de Hoyo.
- 34.- 4485-379. Conducto pegmatítico vertical con enclaves microgranulares.
- 35.- 4485-378. Doble enclave en adamellita de Hoyo.
- 36.- 4486-378. "Schlieren" y bandas pegmatíticas en adamellita de Hoyo.
- 37.- 4487-393. Laminación de flujo en leucogranitos.
- 38.- 4485-378. Laminación de flujo en adamellita de Hoyo.
- 39.- 4486-378. Laminación de flujo en leucogranito.
- 40.- 4488-381. Granito microporfídico enclavado en leucogranito.
- 41.- 4500-395. Adamellita Navas con bolsadas pegmatíticas.
- 42.- 4500-396. Aspecto macroscópico de la adamellita de Navas.
- 43.- 4500-395. Bandas leucograníticas en adamellita de Navas.
- 44.- 4487-384. Bolsada pegmatítica en adamellita de Navas.
- 45.- 4487-384. Enclave mozonítico zonado en adamellita de Navas.
- 46.- 4491-386. Aspecto de los leucogranitos de grano fino intrusivos en adamellitas de Navas.
- 47.- 4485-382. Microdiorita intrusiva en dique de aplita nodular.
- 48.- 4487-382. Aspecto macroscópico de dique de pórfido.
- 49.- 4487-388. Diques de pórfido granítico y de microdiorita paralelos.
- 50.- 4487-377. Dique granítico en enclave de microdiorita.
- 51.- 4499-384. Microdiorita intruida por pórfido granítico con fenómenos de hibridación.
- 52.- 4499-384. Aspecto de detalle de pórfido granítico de la Diapositiva nº 51.

















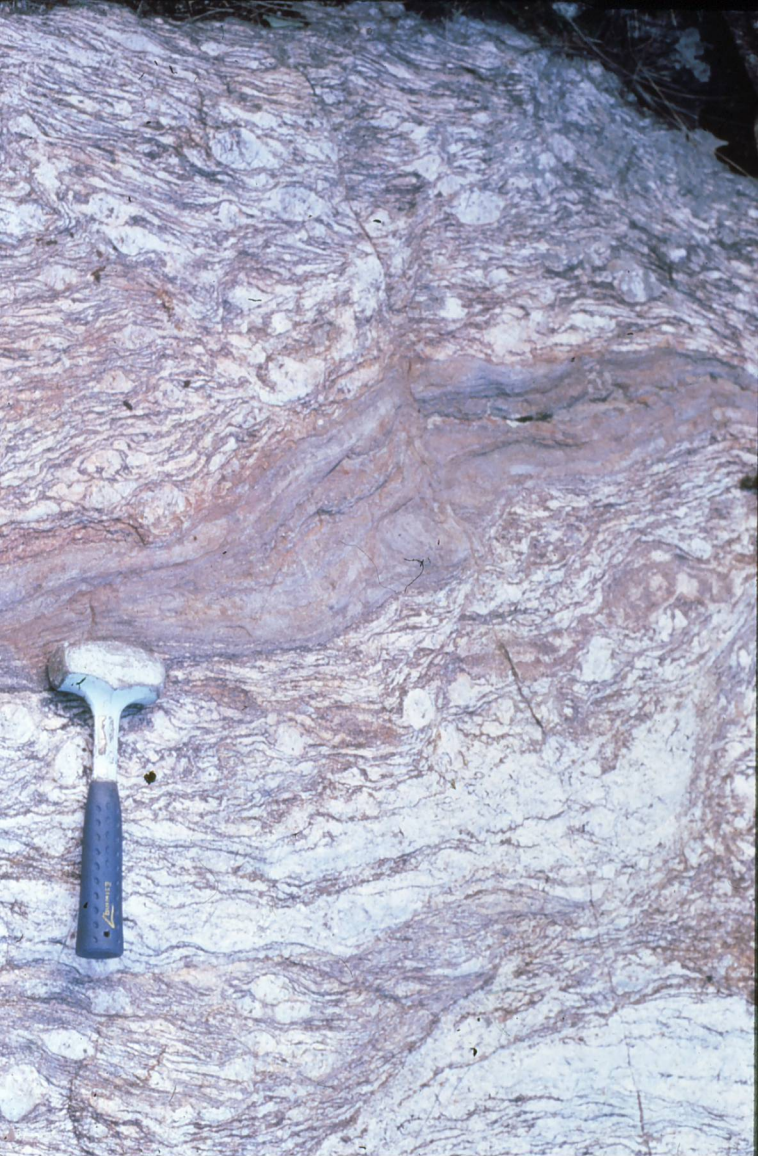


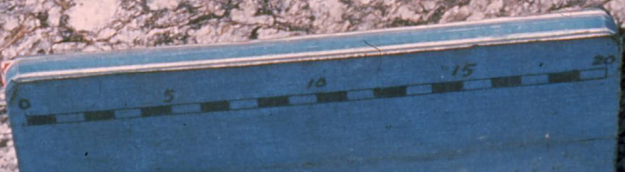


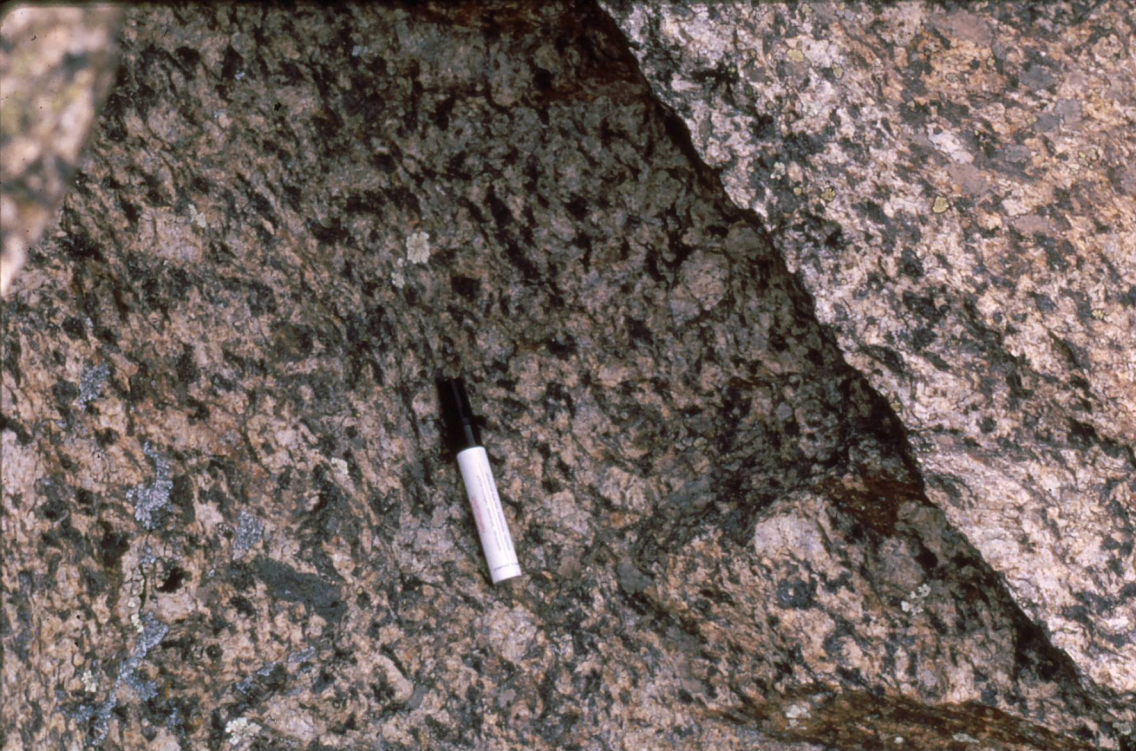






















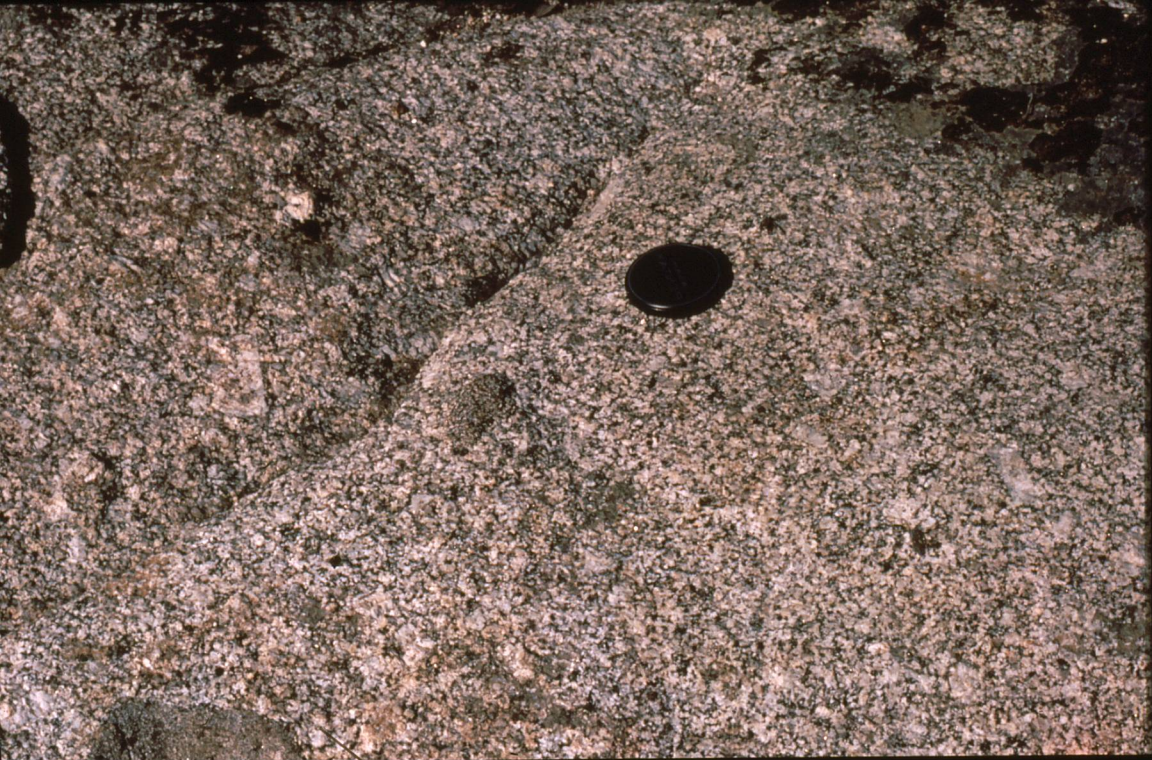




Lion Grip













































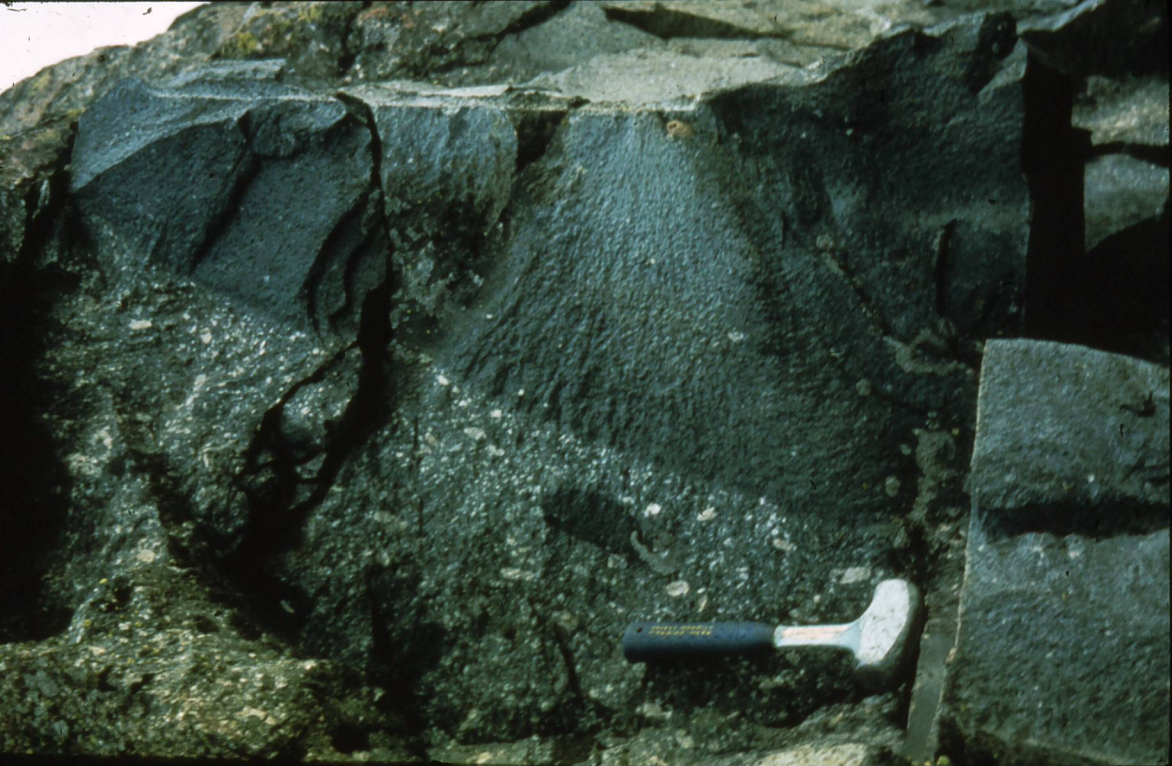


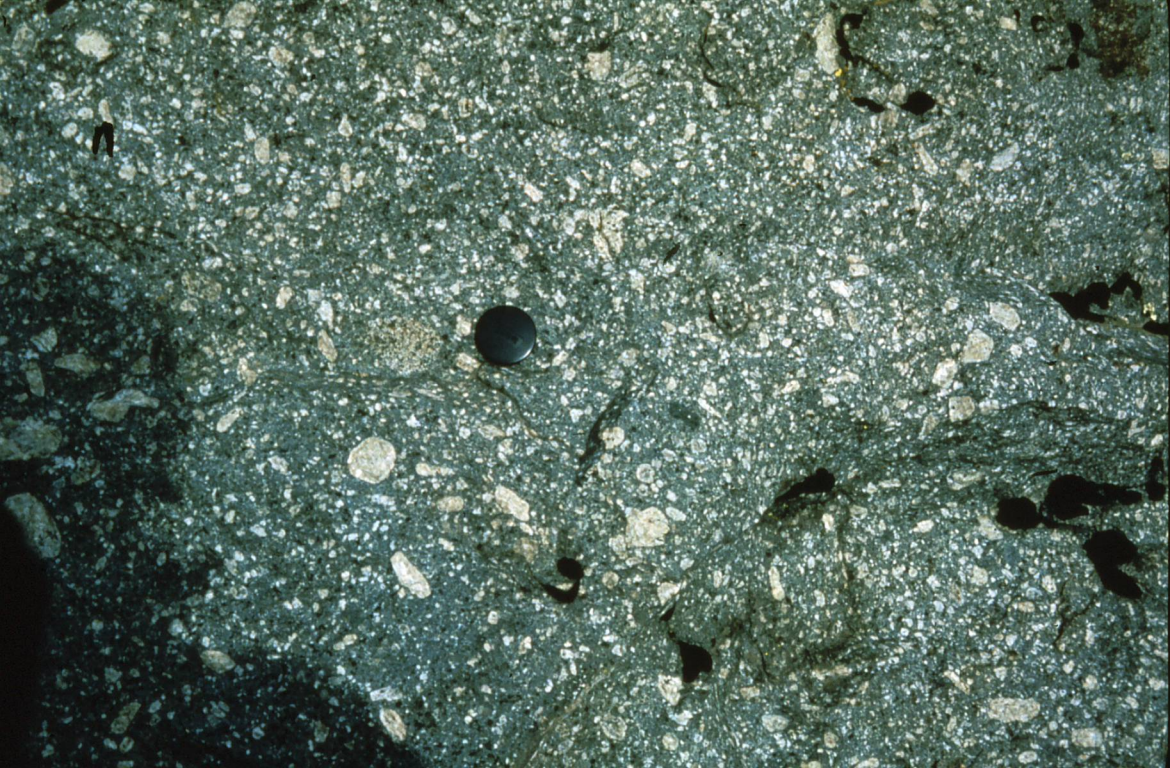






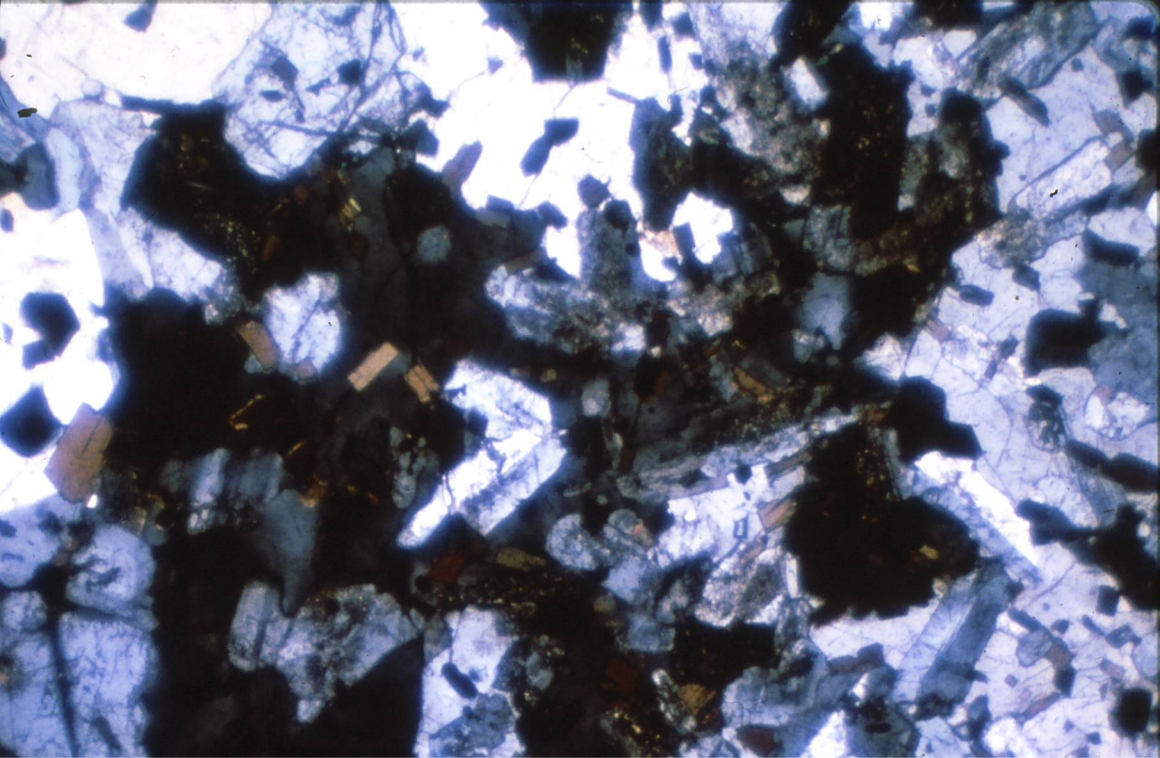




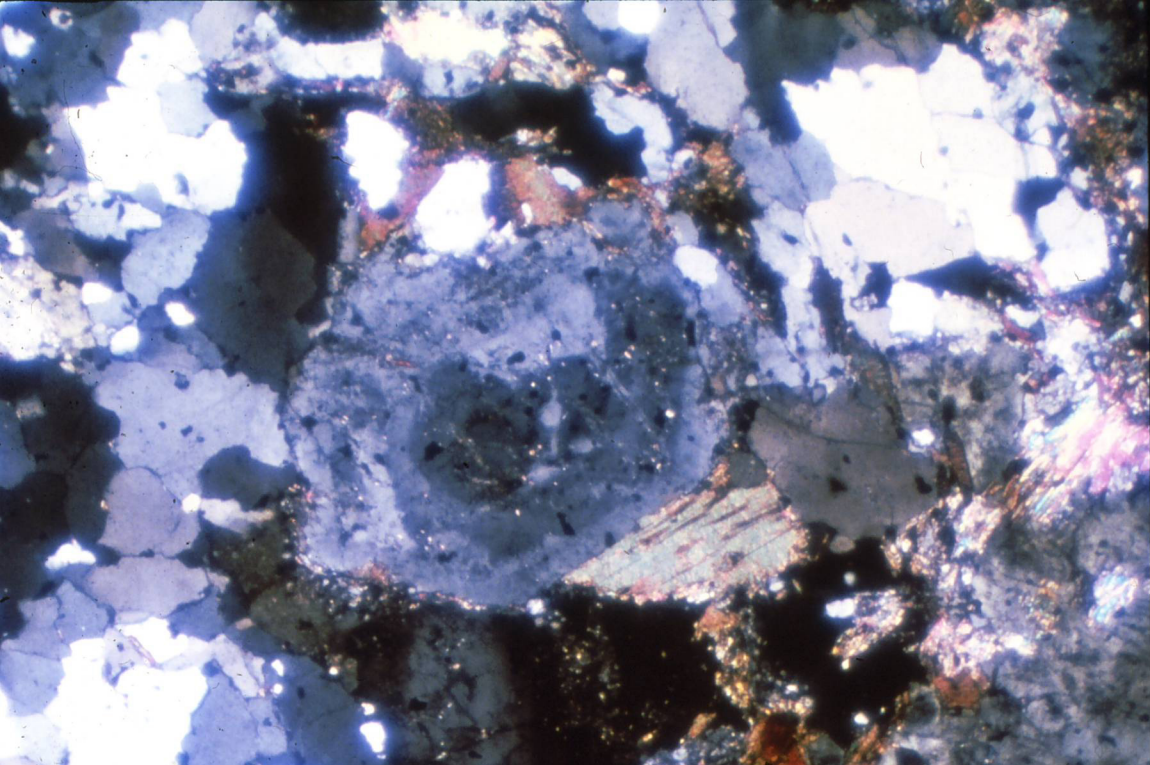


MICROSCOPIO

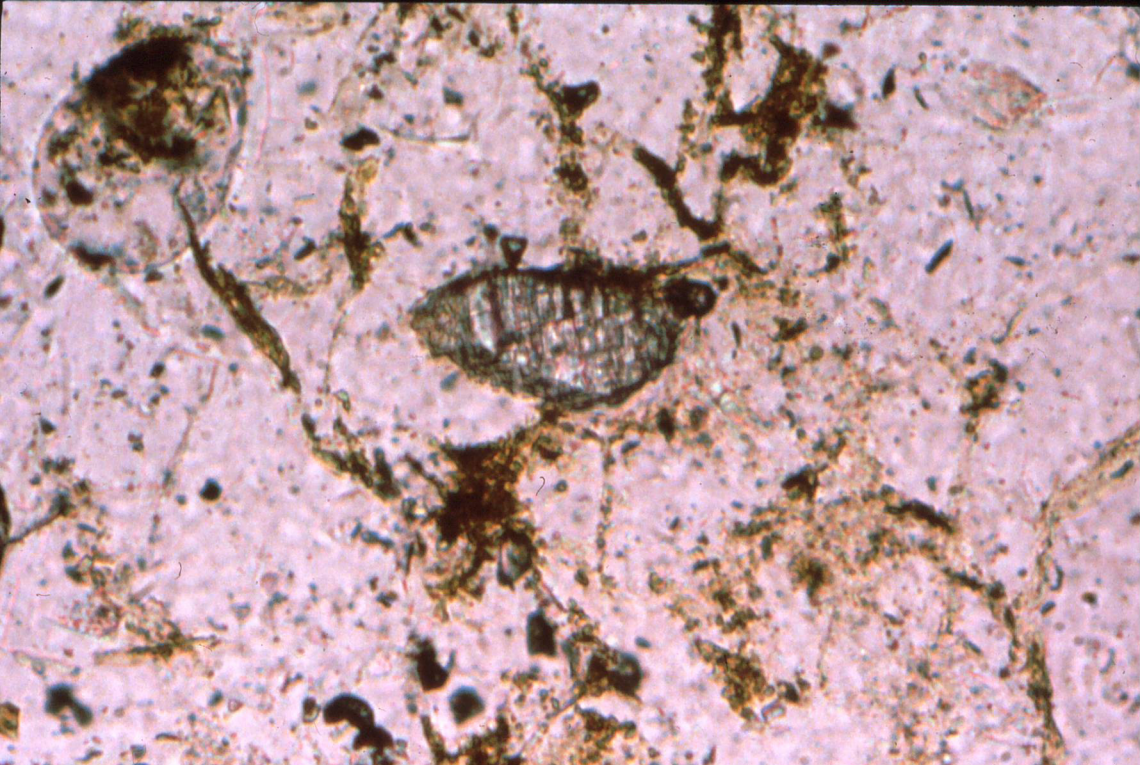
- 9026.- Textura de monzonita biotítica anfibólica enclavada en adamellita Navas. LP x 10.
- 9028.- Leucogranito anatectico deformado. LP x 10.
- 9029.- Distena residual en paraneis. LN x 25.
- 9047.- Zonación de plagioclasas en adamellita Hoyo, se observa cuarzo de recristalización temprana. LP x 10.
- 9048.- Textura de Leucogranito. LP x 10.
- 9049.- Adamellita deformada. Desestabilización marginal de las biotitas LN x 10.
- 9052.- Textura de porfido granítico. LN x 10.
- 9053a.- Microdiorita piroxenica anfibolica. LN x 10.
- 9053b.- Microdiorita piroxenica anfibolica. LP x 10.
- 9057.- Camptonita pseudomorfa de olivino y kaersutita deformada LN x 10.
- 9059.- Porfido intrusivo en microdiorita. Planos S-C en el contacto. LN x 10.
- 9061.- Textura porfiritica en adamellita Hoyo. LP x 10.
- 9062.- Xenocristales de cuarzo con aureola de reacción microdioritica. LP x 10.
- 9075.- Adamellita en leucogranitos. LN x 12,5.
- 9076.- Cordierita en adamellita Hoyo. Enclave biotítico. LP x 10.
- 9079b.- Granito microporfídico en enclave recristalizado. LP x 10.
- 9079c.- Adamellita Hoyo, aspecto textural. LP x 10.
- 9084.- Plagioclase zonada en adamellita Hoyo. LP x 10.
- 9100.- Adamellita Hoyo afectada por F_4 . LP x 10.
- 9104.- Sillimanita incluida en plagioclase de granito microporfídico. LN x 25.
- 9120.- Sillimanita en prismas pasando a fibrolita en ortoneis glandular. LN x 16.
- 9195.- Biotita transformadas en feldespato potásico en granito Peguerinos. LN x 10.
- 9210.- Granulita ácida con flogopita y quelifitas pseudomorfizando granates. Enclave en diques camptoníticos. LN x 10.
- 9214.- Aspecto general del granitoide de Navas del Marques. LN x 10.
- 9223.- Acumulado biotítico en el granitoide de Navas del Marques. LN x 10.



PM 9026



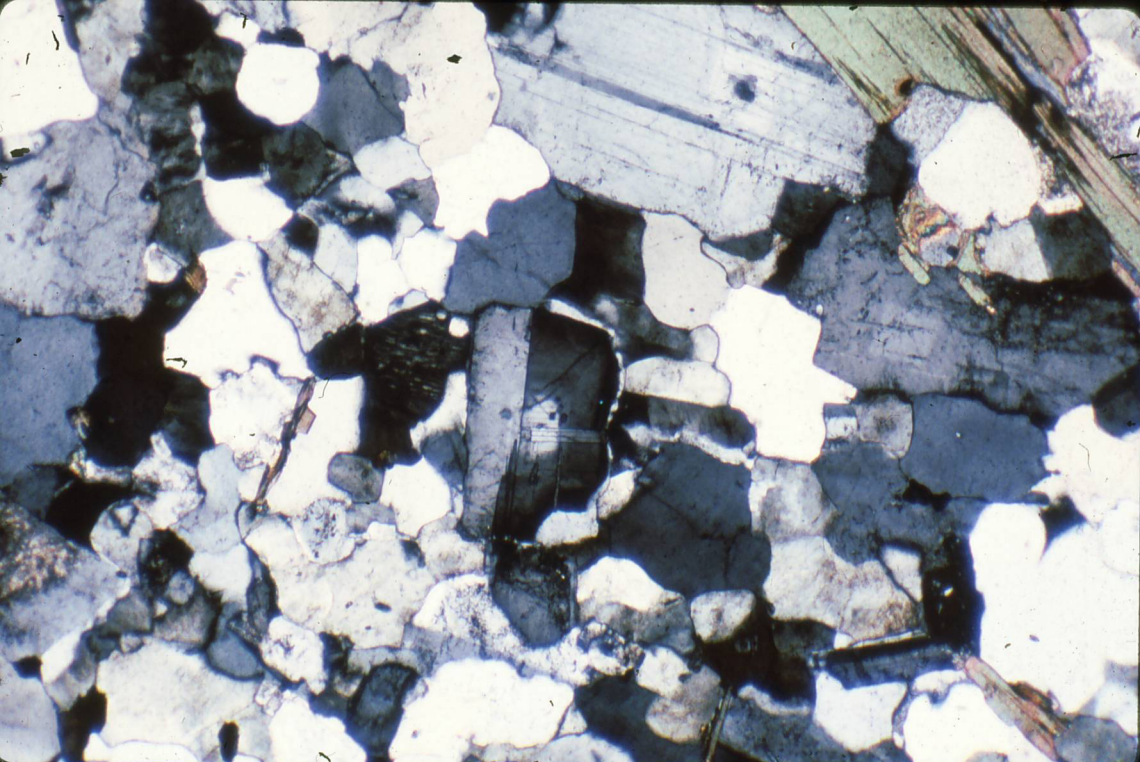
PM 9028



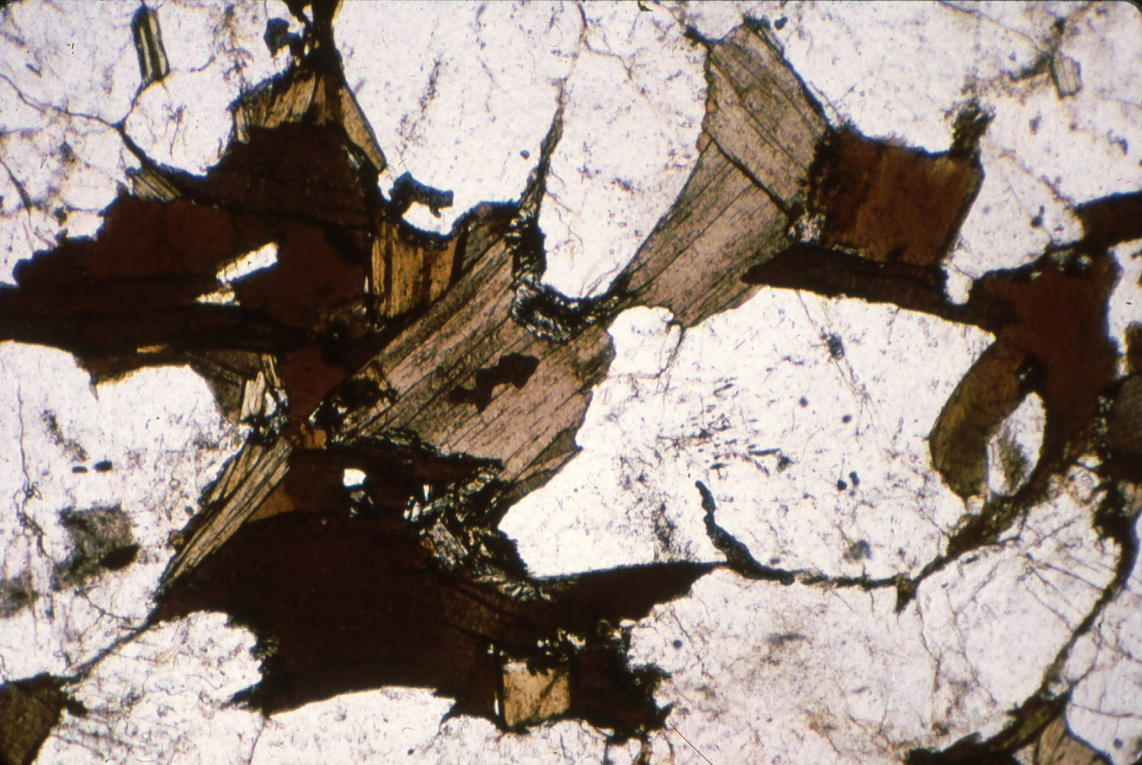
PM 9029



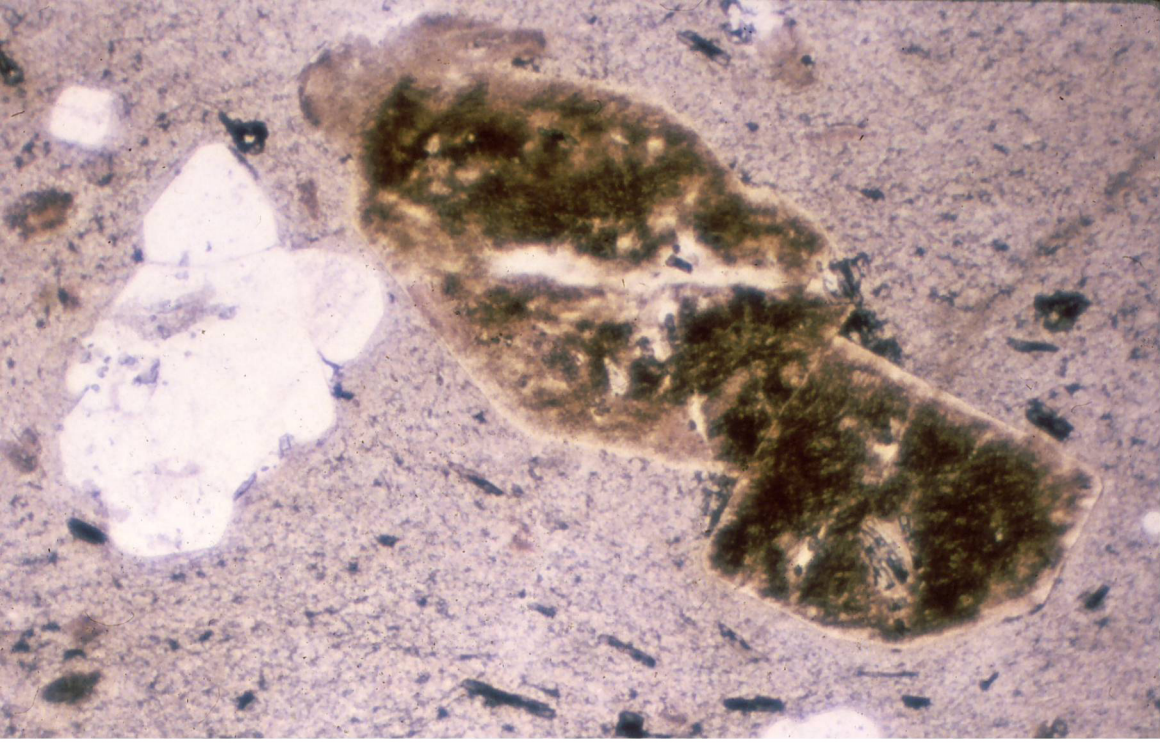
PM 9047



PM 9048



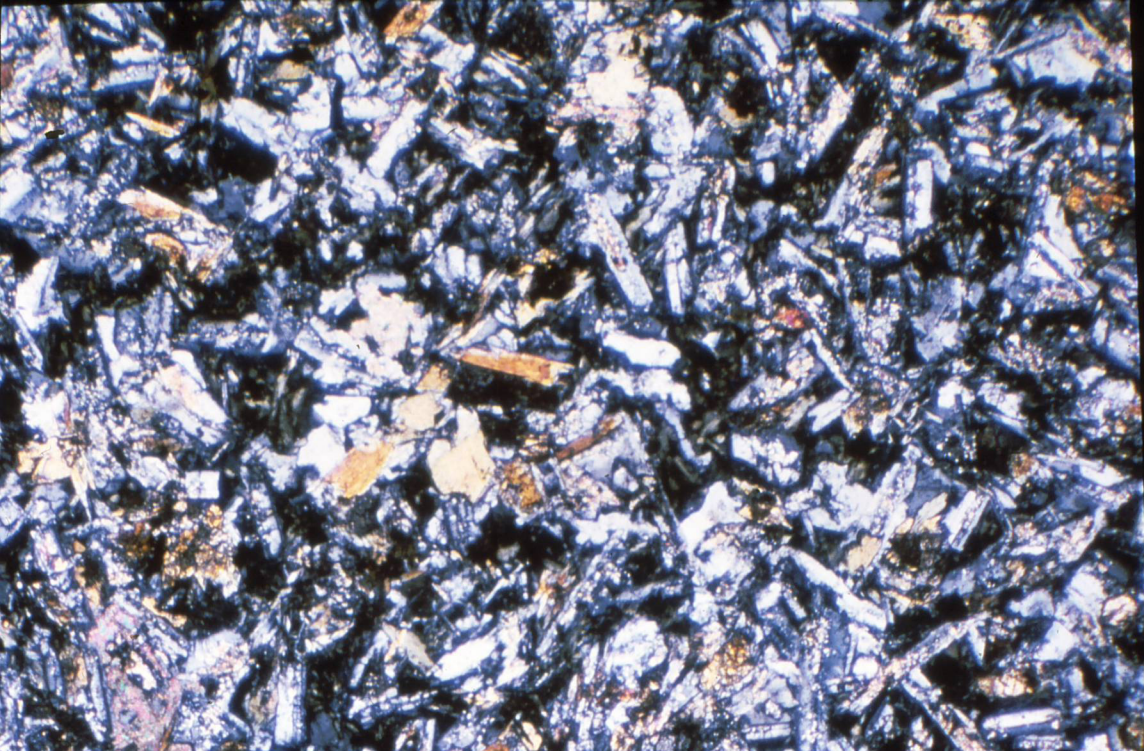
PM 9049



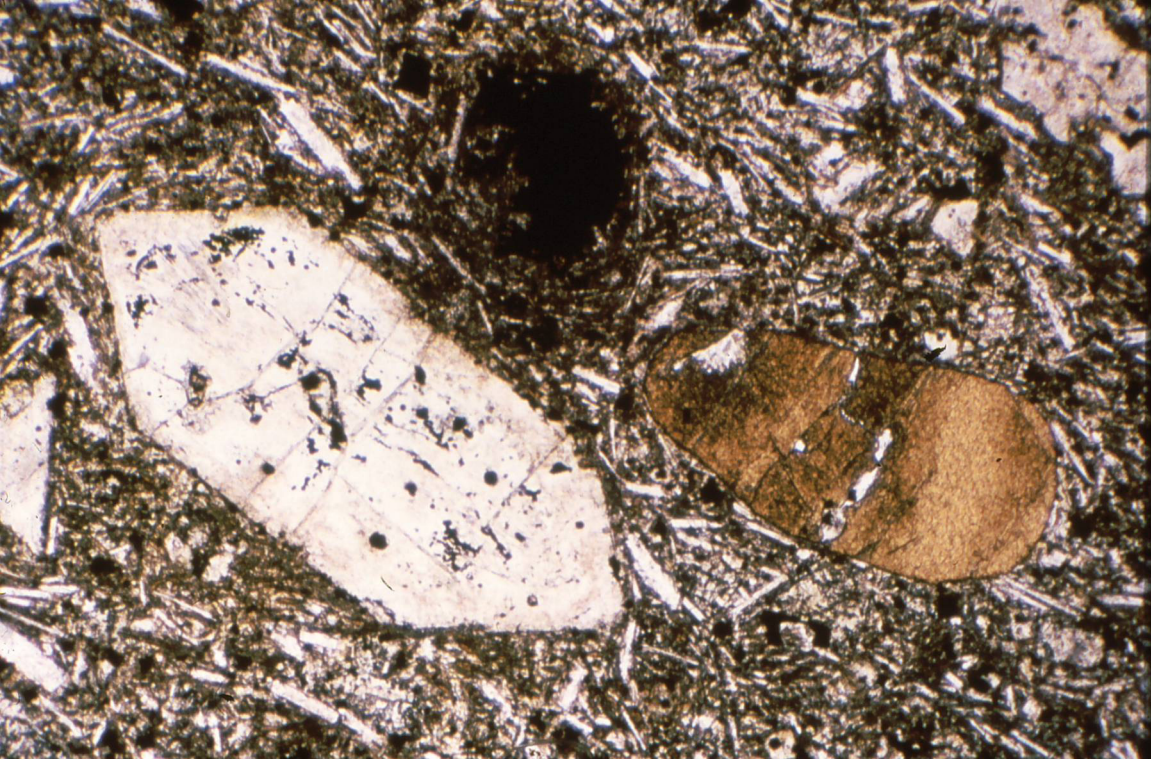
PM 9052



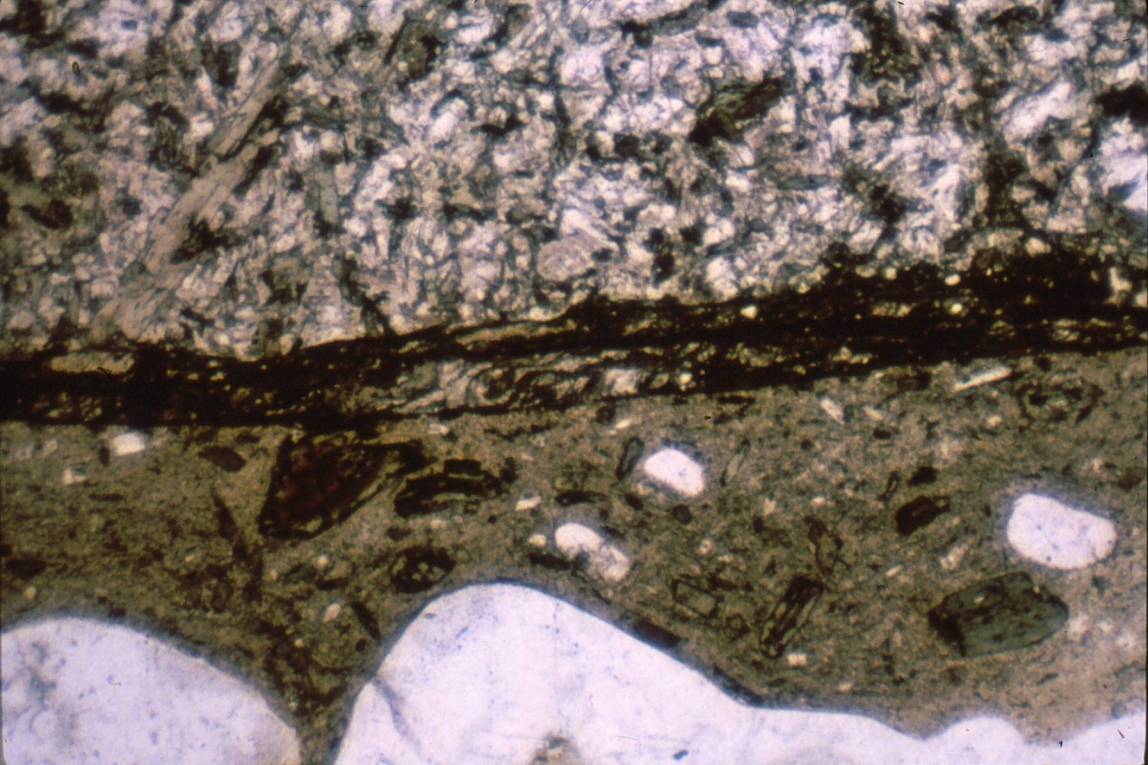
PM 9053a



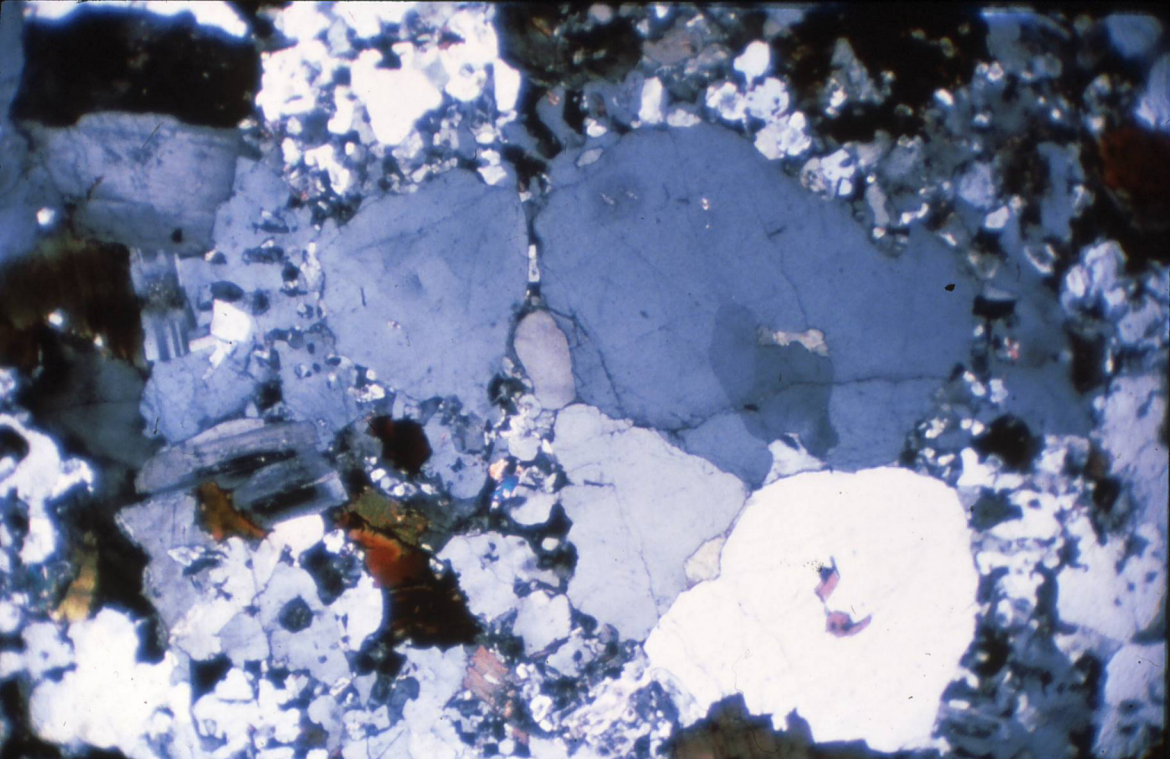
PM 9053b



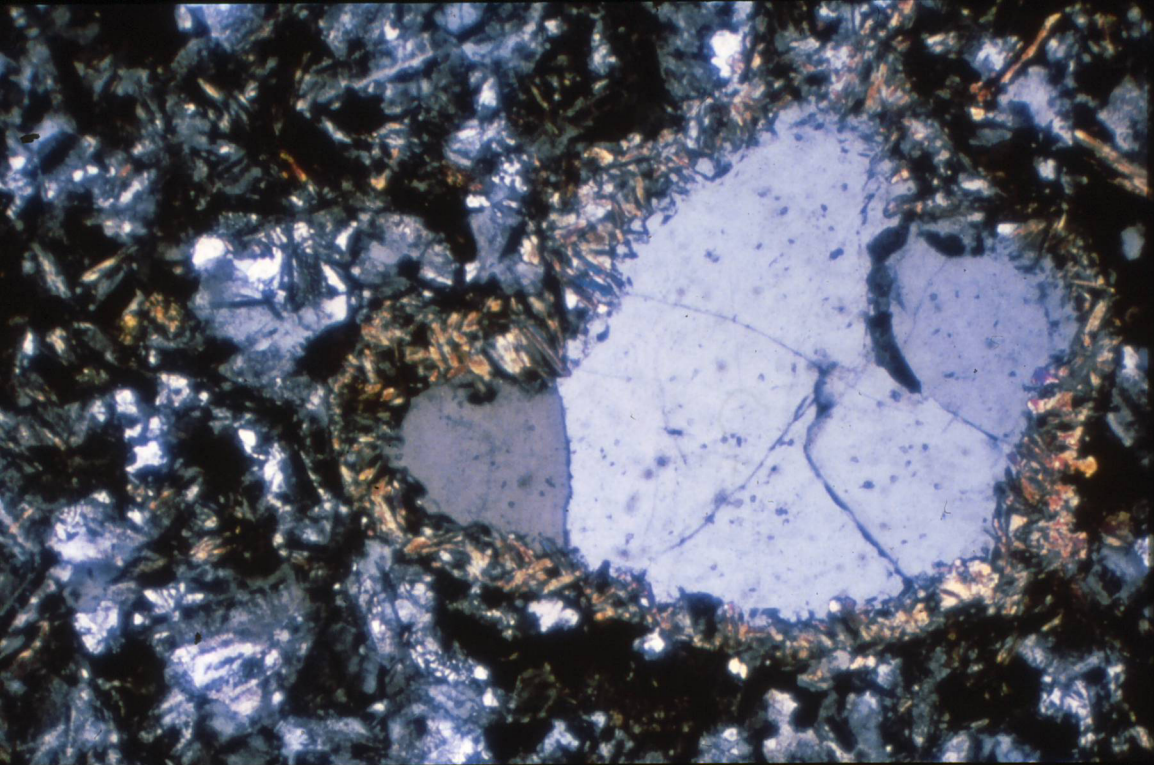
PM 9057



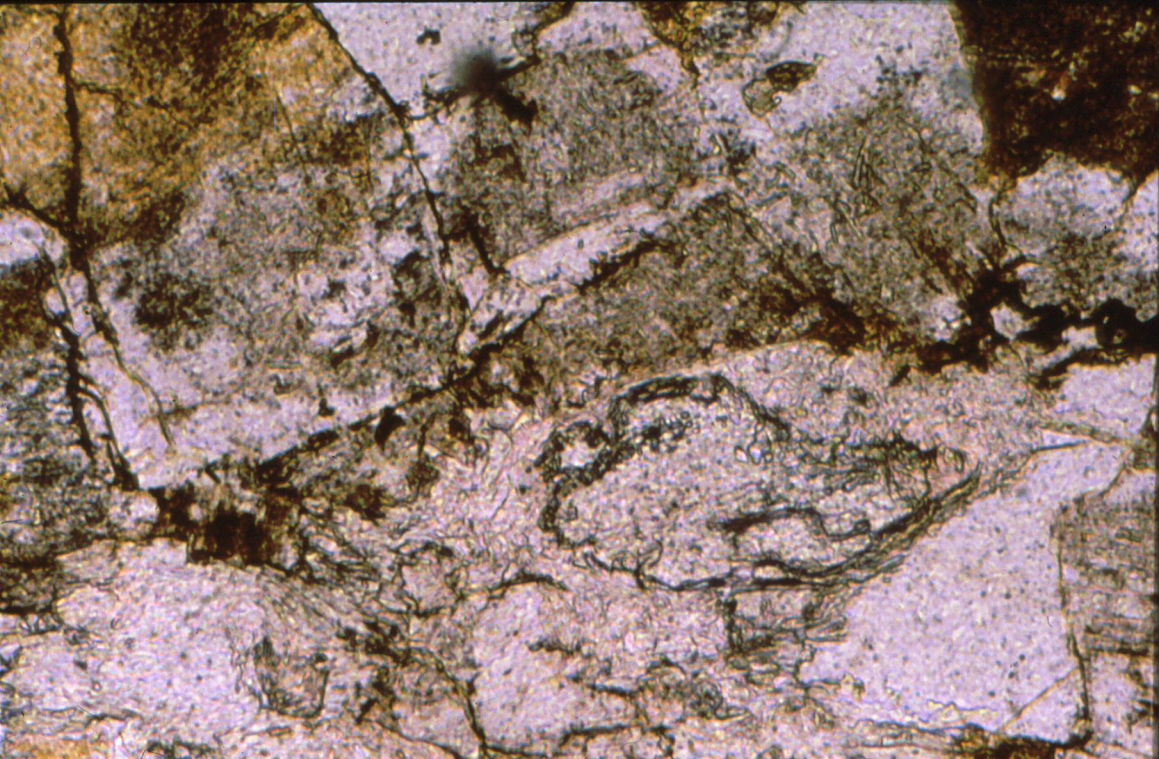
PM 9059



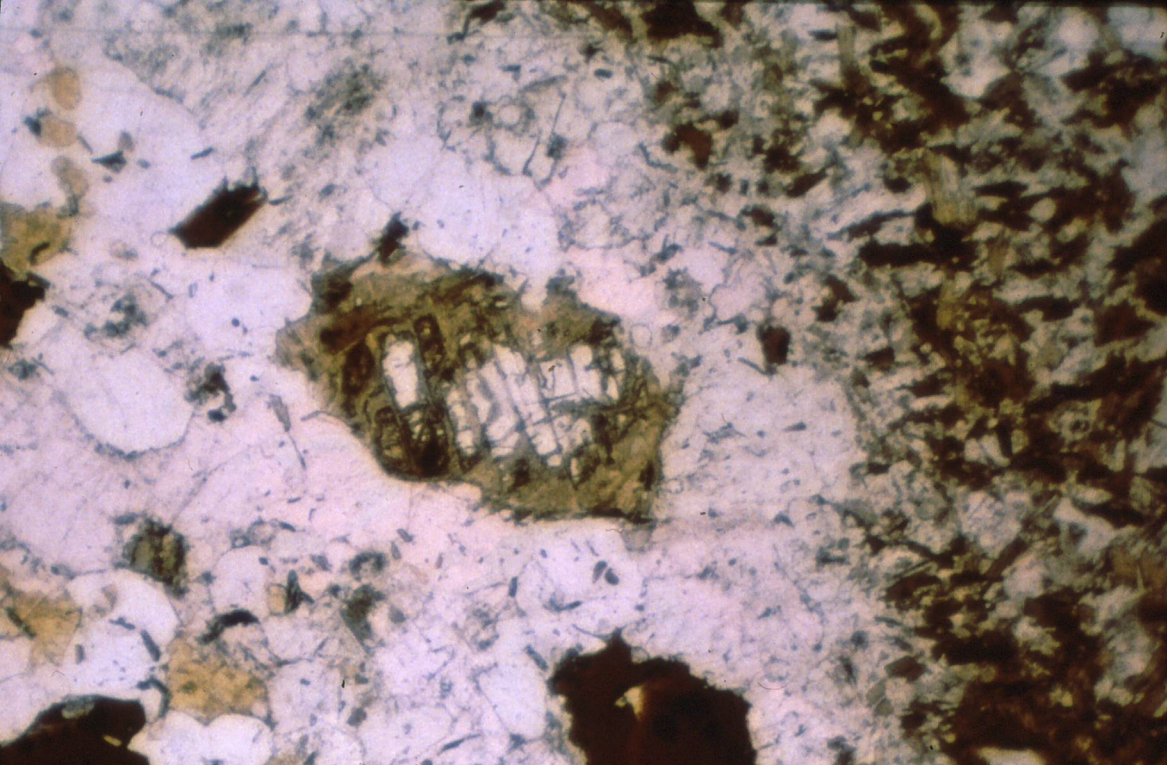
PM 9061



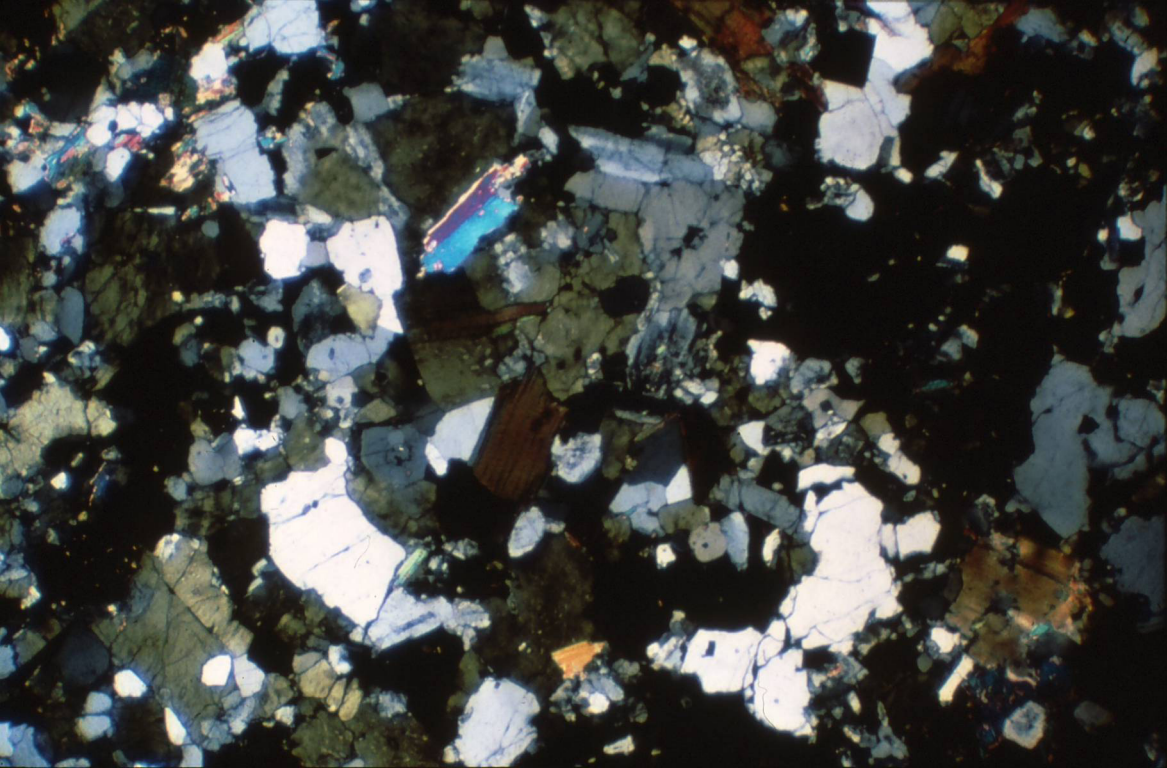
PM 9062



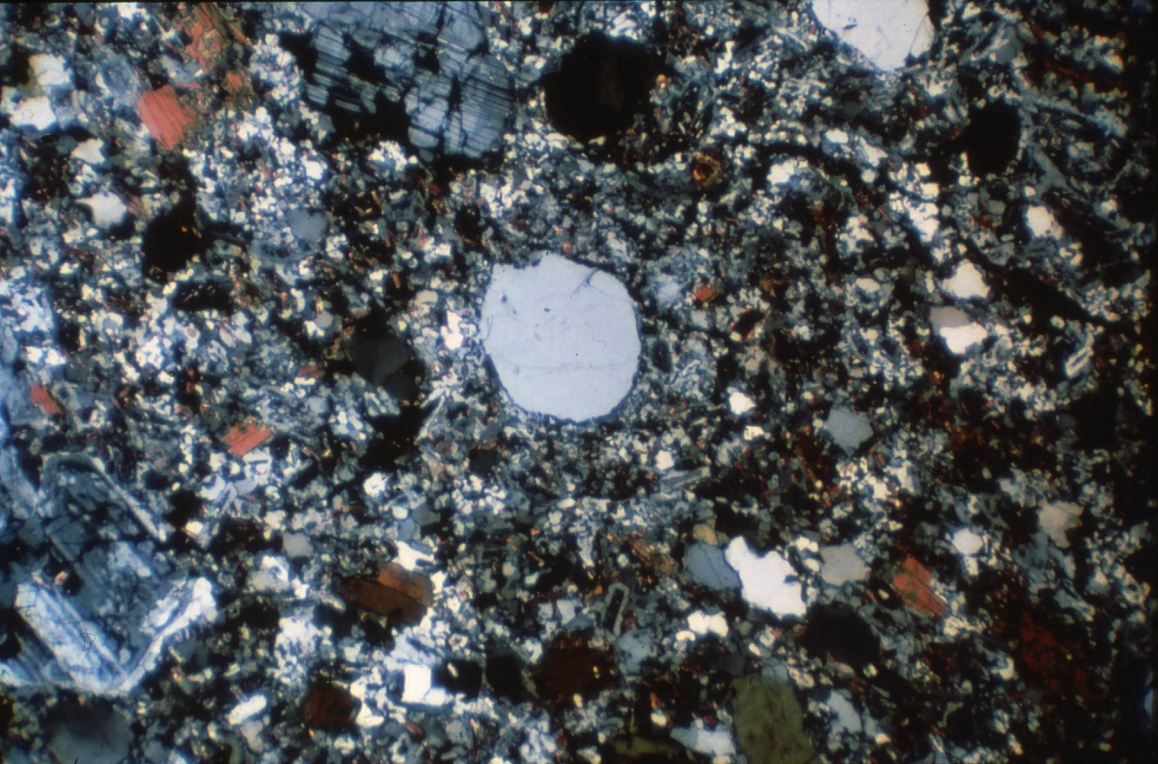
PM 9075



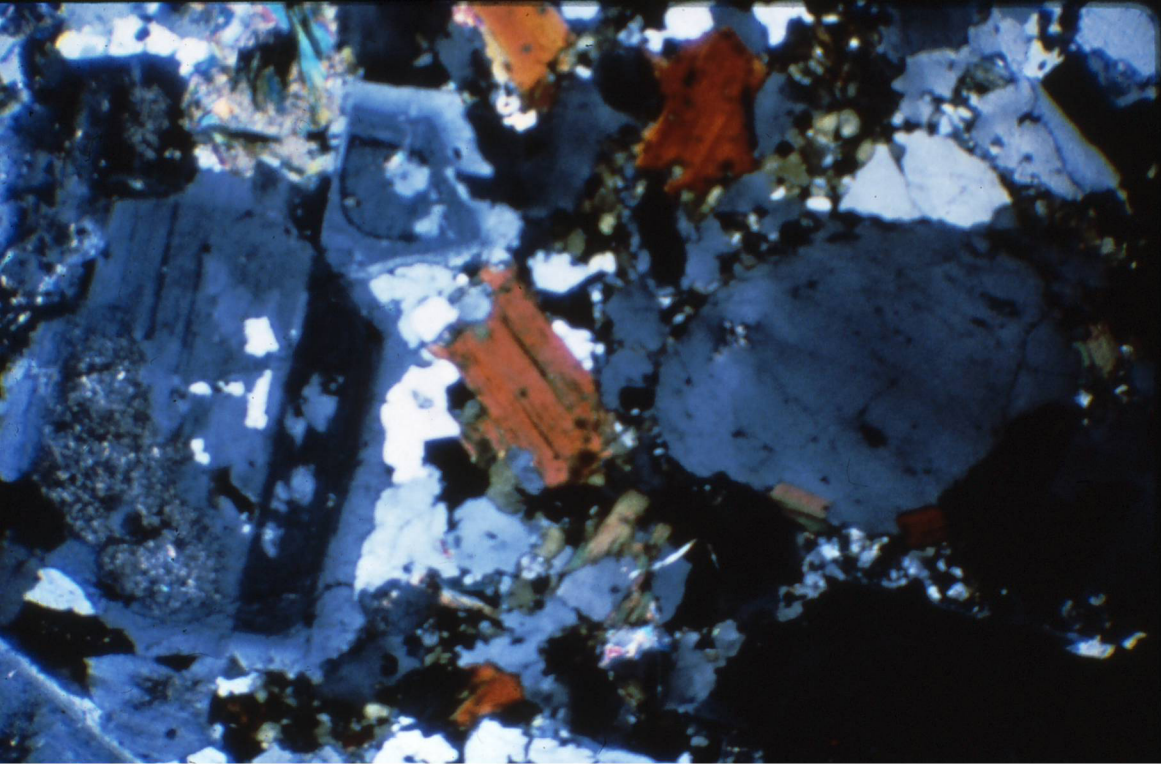
PM 9076



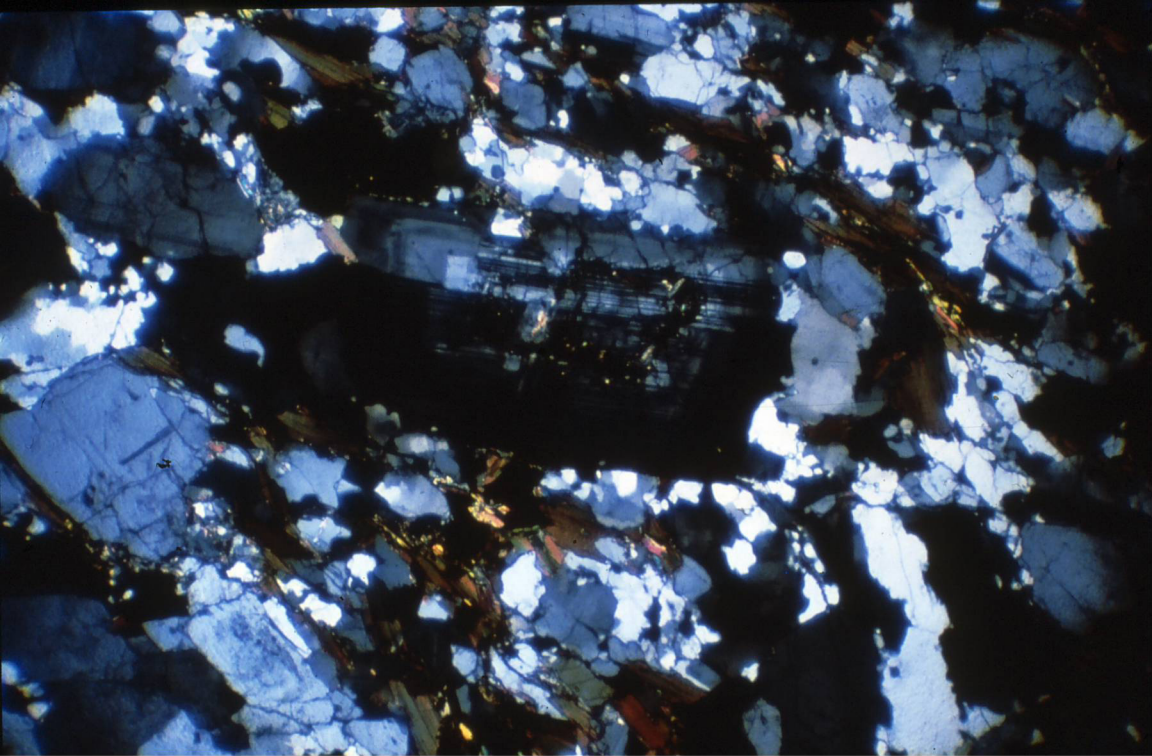
PM 9079b



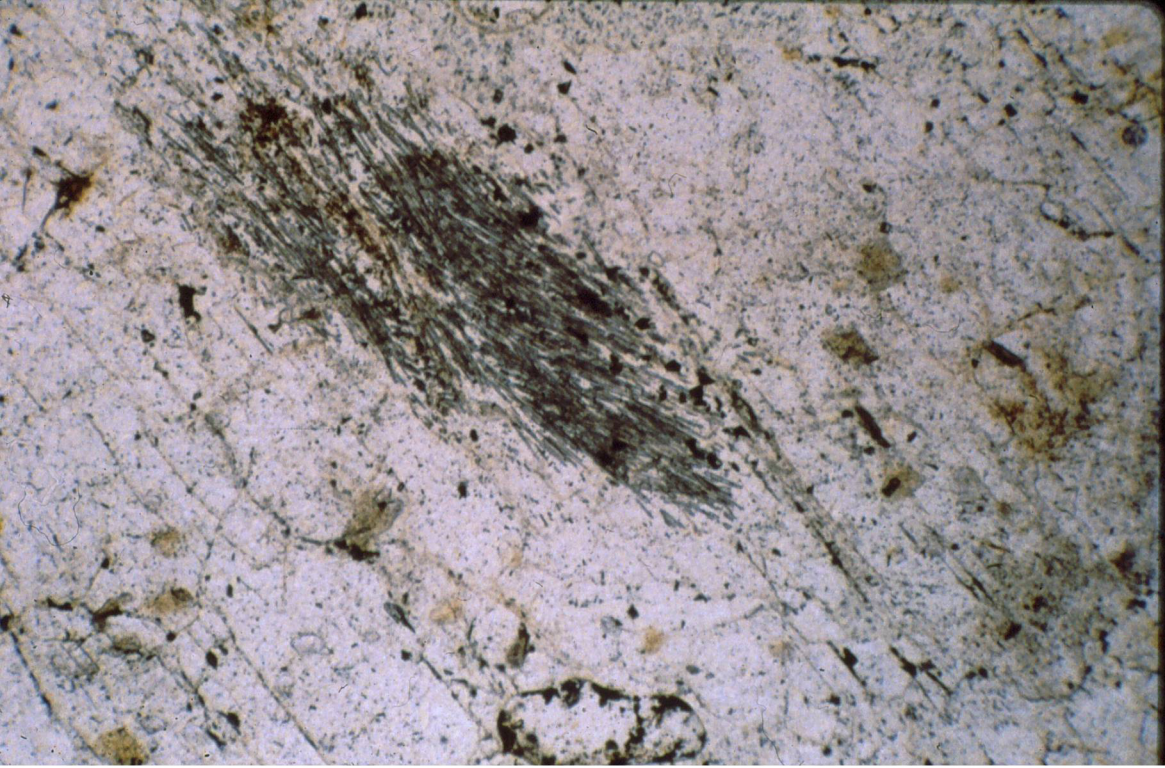
PM 9079c



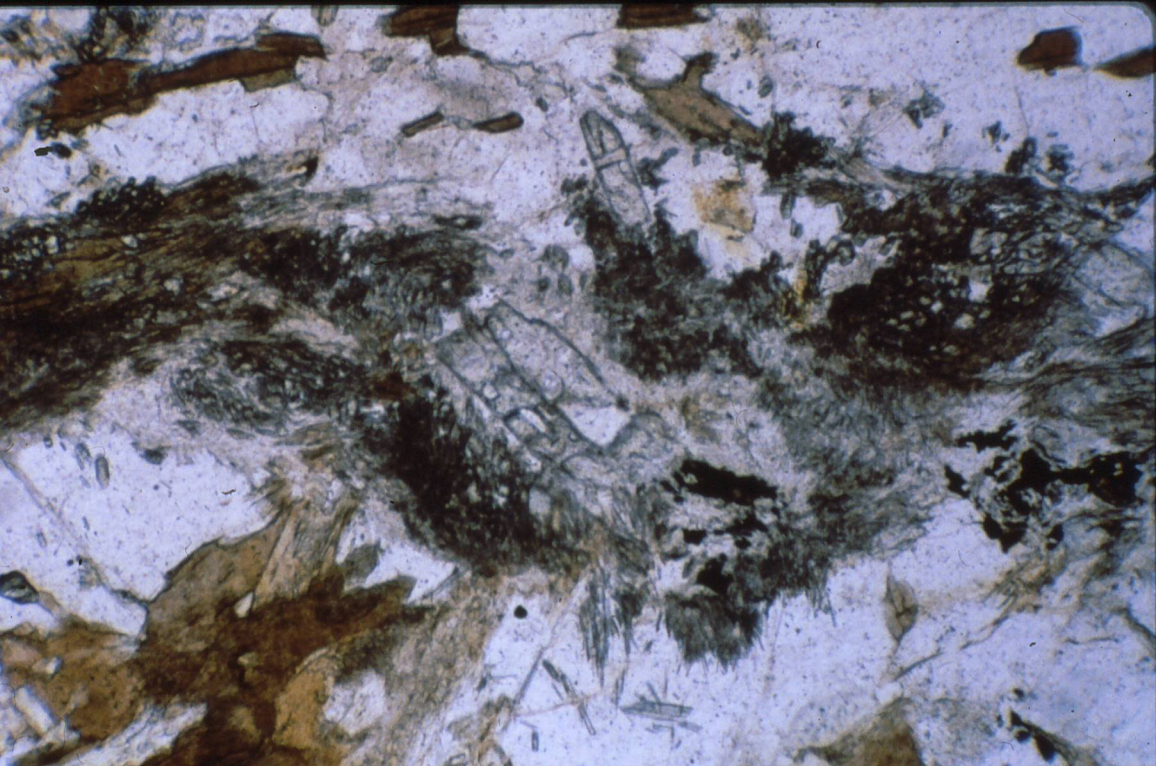
PM 9084



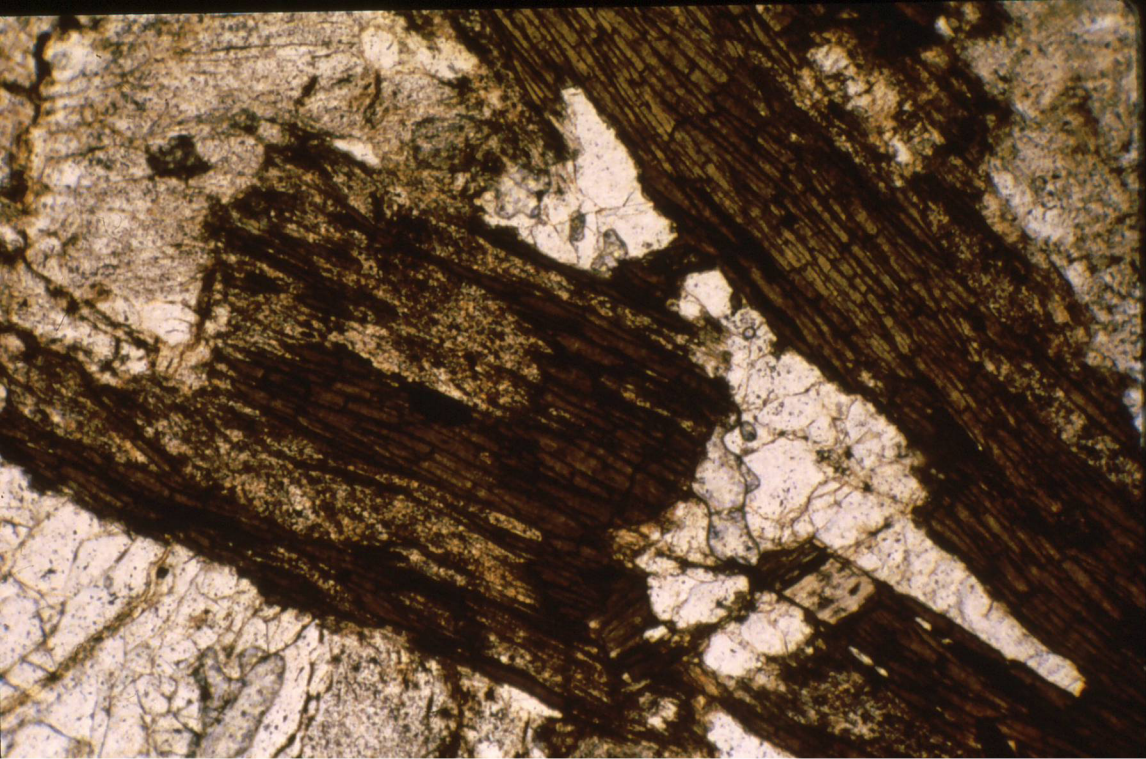
PM 9100



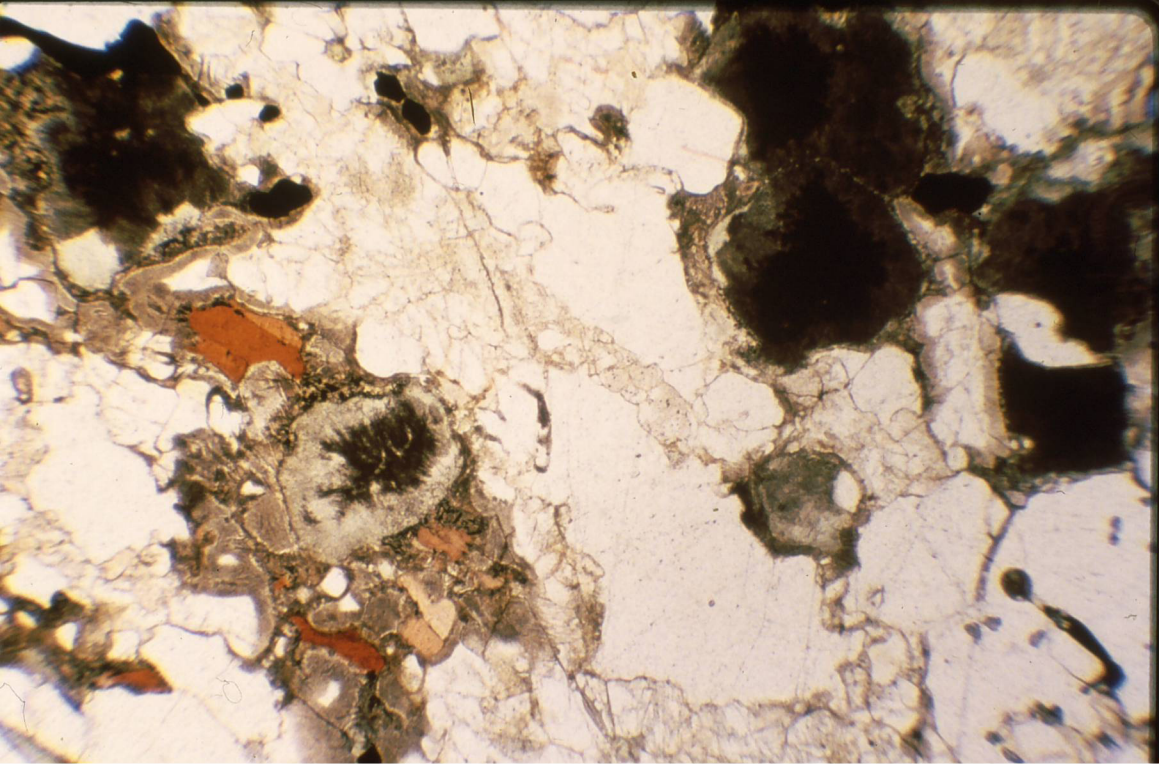
PM 9104



PM 9120



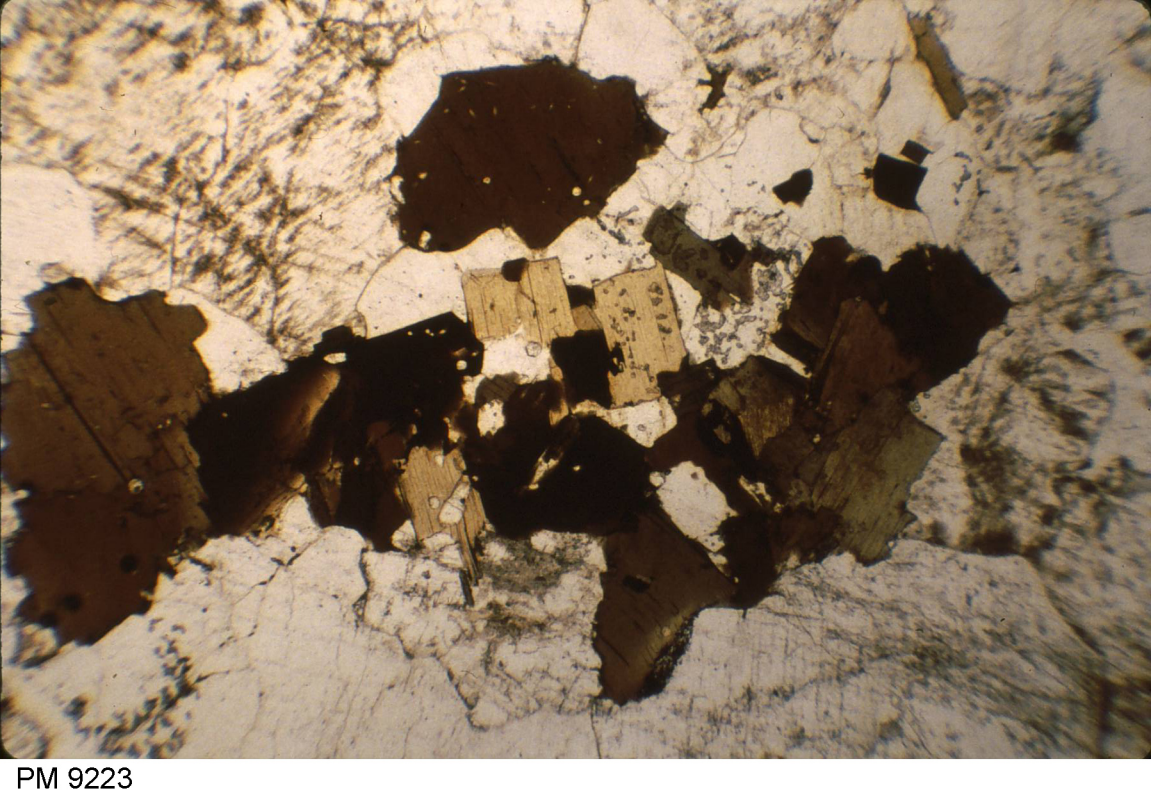
PM 9195



PM 9210



PM 9214



PM 9223